Спектры пропускания инфракрасного излучения в TiS_3 : край фундаментального поглощения, фононы и экситоны¹⁾

 $K. H. Болдырев^+, E. B. Мостовщикова^*, A. H. Титов^*, B. Я. Покровский^{\times 2}, И. Г. Горлова^{\times}$

+Институт спектроскопии РАН, 108840 Троицк, Москва, Россия

Поступила в редакцию 2 июня 2024 г. После переработки 9 сентября 2024 г. Принята к публикации 9 сентября 2024 г.

Исследованы спектры пропускания инфракрасного и видимого излучения монокристаллическими вискерами ${\rm TiS_3}$ при разных поляризациях света в диапазоне температур от комнатной до гелиевой. Определены абсолютные значения коэффициента поглощения. В области дальнего инфракрасного излучения наблюдались неизвестные ранее фононные моды. Изучена зависимость ширины запрещенной зоны \mathcal{E}_g от температуры и показано, что \mathcal{E}_g увеличивается на 50 мэВ при охлаждении от 300 до 5 К. Сравнение спектров, снятых при разных направлениях поляризации, указывает на анизотропию оптической щели. Ниже $\sim 150\,{\rm K}$ обнаружен пик поглощения с энергией $1.28\,{\rm sB}$, который объясняется возбуждением экситонов.

DOI: 10.31857/S0370274X24100164, EDN: NQACFO

Трихалькогениды с общей формулой МХ₃, где М – переходные металлы IV группы – Ті, Zr, Hf, а X = S, Se, Te, исследуются с 1960 гг. [1–4]. Эти соединения интересны своей анизотропной структурой, которую можно назвать и слоистой, и квазиодномерной. Атомные слои, параллельные плоскости ав в этих материалах, соединяются друг с другом за счет сил ван дер Вальса. Внутри слоев цепочки атомов металла параллельные оси **b**, изолированные друг от друга атомами халькогена, определяют направление наибольшей проводимости. Особенности структуры проявляются в анизотропии физических свойств. В частности, наблюдается анизотропия зонной структуры и характеристик носителей заряда. Соответственно, электрические, оптические, тепловые и фононные свойства этих материалов различны в разных направлениях кристалла, в том числе, в плоскости слоев.

Трисульфид титана (TiS_3) имеет оптическую ширину запрещенной зоны \mathcal{E}_g около 1 эВ [1,5,6], приблизительно как в кремнии. При этом температурные зависимости сопротивления и холловской концентрации носителей [7,8] характеризуются энергией активации 35–40 мэВ, соответствующей энергии

донорного уровня [1,5,9,10]. Таким образом, ${\rm TiS_3}$ представляет собой полупроводниковый материал nтипа.

Сильно анизотропные электронные [11–13] и оптические [14-17] свойства, нелинейная проводимость [11, 18], возможность перестройки электронного спектра за счет эффекта поля [19–21], делают TiS₃ перспективным материалом для электронных и оптоэлектронных устройств [22]. TiS₃ способен поглощать свет в диапазоне от видимого до ближнего инфракрасного (ИК). Согласно расчетам [23] ширина запрещенной зоны TiS₃ практически не зависит от толщины, т.е. от количества слоев в исследуемом образце. На зонную структуру TiS₃ могут влиять деформация, особенно в направлениях в плоскости ав [23–25], и морфология кристалла: свойства нитевидных и плоских монокристаллов могут существенно отличаться [22]. Вместе с тем, на сегодняшний день энергетическая структура TiS₃ изучена недостаточно. Так, не исследованы состояния в области края зоны проводимости, в том числе – донорный уровень, не установлено, является ли TiS₃ прямозонным полупроводником.

В работе [14] исследована анизотропия в плоскости ab электрических и оптических свойств плоских монокристаллов ${\rm TiS}_3$ толщиной в несколько атомных слоев. Показано, что спектры комбинационного рассеяния зависят от направления поляризации

^{*}Институт физики металлов им. М. Н. Михеева Уральского отделения РАН, 620108 Екатеринбург, Россия

[×] Институт радиотехники и электроники им. В. А. Котельникова РАН, 125009 Москва, Россия

 $^{^{1)}}$ См. дополнительный материал к данной статье на сайте нашего журнала www.jetpletters.ac.ru

²⁾e-mail: vadim.pokrovskiy@mail.ru

излучения, как падающего, так и детектируемого. Наблюдается также сильный линейный дихроизм [14,16,26,27] – зависимость оптического поглощения от кристаллографической ориентации материала по отношению к направлению поляризации падающего света. Величина дихроизма намного превышает значения, наблюдаемые в черном фосфоре – материале, перспективном для электроники и оптоэлектроники [28,29]. В рассчитанных теоретически и полученных экспериментально спектрах [14,26,27] рост поглощения при направлении электрического поля $\mathbf{E} \| \mathbf{b} \|$ начинается при меньших энергиях фотона и происходит резче, чем при $\mathbf{E} \| \mathbf{a} \|$. Эти результаты указывают на анизотропию щели в \mathbf{TiS}_3 , хотя авторы [14,26,27] анизотропию щели в явном виде не отмечают.

Исследования спектров отражения и поглощения трисульфида титана достаточно обширны (к предыдущим ссылкам добавим [30,31]), однако все исследования проводились только вблизи комнатной температуры. Кроме того, за исключением недавней работы [26], исследований в поляризованном излучении не проводилось.

Для анализа фононной системы в основном рассматривались спектры комбинационного рассеяния и отражения [3, 4]. В настоящей работе исследуются спектры пропускания в дальней ИК области, дающие информацию об оптических фононах, их анизотропии и температурной эволюции. Также исследованы спектры пропускания в ближней ИК и видимой области, позволяющие определить форму края фундаментального поглощения и изучить другие состояния в этой области энергий.

Особый интерес к исследованию энергетической структуры TiS₃ связан с многочисленными указаниями на фазовый переход в коллективное состояние в этом квазиодномерном полупроводнике [18, 32]. Ряд особенностей проводимости [11], магнитотранспорта [8,13] и эффекта поля [20] при $T~\sim~50\,{\rm K}$ указывает на возникновение коллективного состояния типа волны зарядовой плотности (ВЗП) [33]. Нелинейная проводимость, которая наблюдается ниже $50\,\mathrm{K}$ и резко возрастает при $T\,\leq\,15\,\mathrm{K},$ может быть связана со скольжением ВЗП. Другим объяснением аномалий может быть формирование экситонного изолятора (переход Келдыша-Копаева) [34, 35], возможность которого в TiS_3 обсуждалась в [11, 36– 38]. Хотя величина щели в TiS₃, 1 эВ, явно велика по сравнению с энергией экситона, в [38] высказано предположение, что энергию экситона правильно сравнивать с энергией ионизации донорного уровня, 35–40 мэВ (возможно, минизоны [10]). Поэтому актуальность настоящей работы связана также с исследованием спектров пропускания в области края фундаментального поглощения в температурном интервале, включающем область предполагаемого перехода.

Монокристаллические образцы ${\rm TiS_3}$ были выращены методом газотранспортных реакций с использованием в качестве исходной шихты ${\rm TiS_2}$ и избытка серы [39]. Кристаллы имеют вид ограненных лент длиной несколько миллиметров, шириной до $500\,{\rm mkm}$. Элементный состав с использованием просвечивающего электронного микроскопа ${\rm Tecnai}~{\rm G}^2$ 30 Twin был определен как ${\rm TiS_{3.0\pm0.2}}$, т.е. в пределах погрешности соответствует стехиометрии.

Рентгенограмму порошка, полученного измельчением кристаллов, удалось индицировать в пространственной группе P21/m (моноклинная сингония) с постоянными решетки $a=4.966; b=3.405; c=8.801; \beta=97.38$. Эти данные хорошо согласуются с данными, имеющимися в литературе [JCPDS-ICDD15-0783] и [2,19,40]. Структурные исследования наших монокристаллов свидетельствуют о возможном присутствии в них двойников, однако двойникование в TiS_3 не влияет на ориентацию осей a и b [41,42], вдоль которых был направлен вектор E при исследованиях в поляризованном излучении.

Были исследованы спектры пропускания в дальней и средней ИК области в диапазоне $40-700\,\mathrm{cm}^{-1}$ (энергия фотона $\mathcal{E} = 5-90 \,\mathrm{мэВ}$, длина волны 250-14 мкм) при температурах 10 и 300 К, а также в ближней ИК и видимой области $3300-16000\,\mathrm{cm}^{-1}$ (420–1900 мэВ, 3–0.65 мкм), в области края фундаментального поглощения. Измерения были проведены как в неполяризованном, так и в линейнополяризованном свете. Использовался всеволновой вакуумный фурье-спектрометр высокого разрешения Bruker IFS 125 HR. Для дальней ИК области в качестве детектора излучения использовался пироприемник DTGS, а в качестве источника излучения – глобар. Для ближней ИК и видимой области в качестве приемника использовались соответственно высокочувствительный InGaAs и охлаждаемый жидким азотом InSb, а в качестве источника – галогенная лампа. Для поляризации излучения в дальней ИК области спектра применялся проволочный поляризатор, а в ближнем ИК и видимом диапазонах – призма Глана-Тейлора с автоматизированной сменой угла.

Для охлаждения образца вплоть до $T=4\,\mathrm{K}$ применялся криостат замкнутого гелиевого цикла CryoMech PT403 с термоконтроллером LakeShore 335 и диодным датчиком температуры. Точность установки и регистрации температуры составляла $\pm\,0.5\,\mathrm{K}$ во всем температурном диапазоне.

Были исследованы 3 образца шириной примерно $300\,\mathrm{мкm}$, толщиной $d=7\pm1\,\mathrm{мкm}$ (образец $\#\,1$), $d=6\pm1\,\mathrm{мкm}$ (образец $\#\,2$), $d=9\pm0.5\,\mathrm{мкm}$ (образец $\#\,3$).

Получены спектры пропускания TiS₃ в дальней ИК области. Детали измерений приведены в качестве дополнительных материалов (см. рис. S1 и табл. S1). Спектры пропускания приведены на рис. S1. Наблюдался ряд полос поглощения на оптически активных фононах. Они перечислены в табл. S1. В спектрах пропускания кроме минимумов, связанных с фононными полосами, о которых ранее сообщалось в литературе, обнаружены дополнительные неглубокие минимумы при частотах $\sim 250\,\mathrm{cm}^{-1}$ и $\sim 375\,\mathrm{cm}^{-1}$. Повидимому, это неизвестные ранее фононные моды. При понижении температуры от комнатной до 10 К (рис. S1b) заметно сужение фононных полос и дополнительных минимумов. Значительных изменений в спектре, которые могли бы указывать на структурный фазовый переход, не обнаружено.

Особо отметим глубокий минимум пропускания при $326\,\mathrm{cm}^{-1}$. В области этого минимума пропускание падает почти на порядок сильнее, чем в области других минимумов (рис. 1). Как видно из табл. S1, этот минимум вызван мощными фононами ТО с частотой $320\,\mathrm{cm}^{-1}$ и LO с частотой $340\,\mathrm{cm}^{-1}$. Поскольку положение минимума соответствует энергии $40\,\mathrm{m}_{2}$ В, что близко к энергии активации концентрации электронов, n(T) в TiS_{3} [7, 8], в этой области энергий можно ожидать поглощение на электронах при возбуждении их в зону проводимости с примесного уровня: согласно [1, 9], этот уровень находится на $\sim 40\,\mathrm{m}_{2}$ В ниже ее дна. Однако на фоне столь сильного фононного поглощения электронный вклад выделить трудно.

На рисунке 1 также четко виден минимум пропускания на частоте $221 \, \mathrm{cm}^{-1}$. В дополнительных материалах показано, что поглощение в этой области можно объяснить фононами (ТО-колебание с частотой около $215-220 \, \mathrm{cm}^{-1}$, LO – около $225 \, \mathrm{cm}^{-1}$), однако однозначного вывода о природе этого провала мы пока сделать не можем.

Перейдем к спектрам пропускания в ближней ИК области. На рисунке 2а показаны спектры пропускания t монокристалла TiS_3 в зависимости от энергии кванта, $t(\mathcal{E})$, измеренные в неполяризованном свете в области края фундаментального поглощения TiS_3 при различных температурах. Уменьшение пропускания с ростом энергии в области 1.1-1.2 эВ связано с приближением к краю фундаментального поглощения. Видно, что понижение температуры приводит к сдвигу края поглощения в сторону больших энергий.

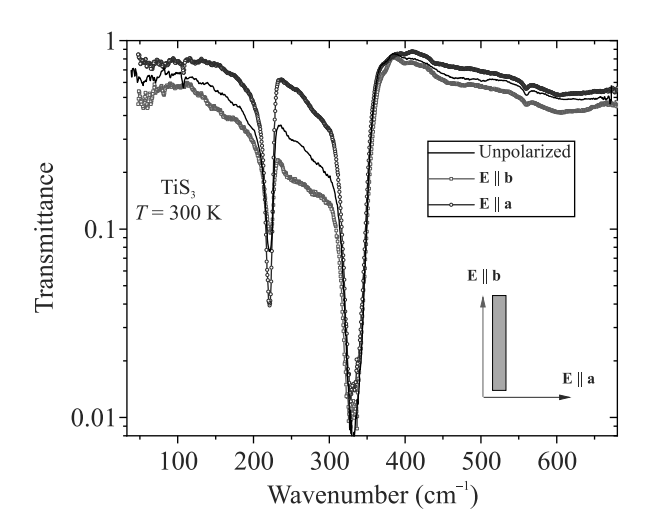


Рис. 1. (Цветной онлайн) Спектры пропускания монокристалла ${\rm TiS}_3 \ \# \ 1$ при $T=300\ {\rm K}$ в неполяризованном и в линейно-поляризованном свете (см. рис. S1a), представленные в полулогарифмическом масштабе

Для более точного определения ширины запрещенной зоны из данных оптического пропускания была рассчитана оптическая плотность $D \equiv \ln(1/t)$. Поскольку $t \approx (1-R)e^{-\alpha d}$, а коэффициент отражения R близок к 0.1 и слабо меняется в интервале 500–1000 нм [30], пренебрегаем им по сравнению с единицей и получаем обычное в таком приближении выражение $D \approx \alpha d$.

На рисунке 2b показаны рассчитанные из спектров $t(\mathcal{E})$ зависимости $D(\mathcal{E})$. На правой оси показаны соответствующие значения α . Из рисунка 2b также виден сдвиг кривых в сторону высоких энергий с понижением температуры, отражающий рост запрещенной зоны. Вблизи края поглощения при температурах 200 и 300 К заметно небольшое "плечо" при 1.23 и 1.25 эВ соответственно. Ниже 200 К в этой области появляется узкий интенсивный пик с максимумом при 1.28 эВ, который может быть связан с экситонами [17, 43]. В целом, с понижением температуры щель становится "жестче", т.е. край поглощения становится резче.

Для более детального изучения анизотропных оптических свойств и зонной структуры спектры пропускания были измерены в линейно поляризованном свете как при $\mathbf{E}\|\mathbf{b}$, так и при $\mathbf{E}\|\mathbf{a}$. На рисунке 3 показаны спектры оптической плотности при $T=5\,\mathrm{K}$ (a) и $T=300\,\mathrm{K}$ (b) в линейно поляризованном свете. Видно, что положение края поглощения, а также вид спектров оптической плотности $D(\mathcal{E})$, зависят от направления поляризации света и при комнатной температуре, и при $T=5\,\mathrm{K}$. Для поляризации, параллельной металлическим цепочкам ($\mathbf{E}\|\mathbf{b}$), край

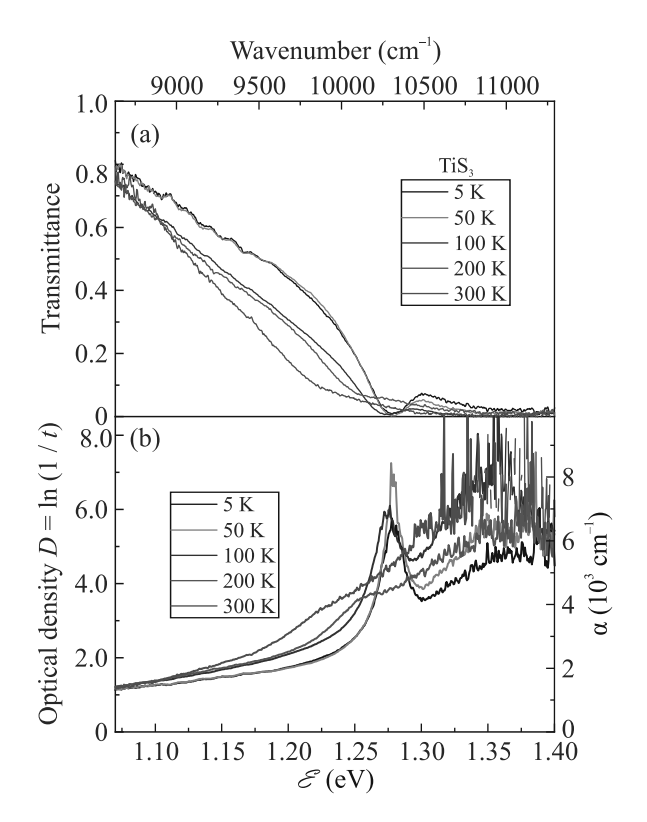


Рис. 2. (Цветной онлайн) Спектры пропускания (а) и оптической плотности (b) в неполяризованном свете монокристалла ${\rm TiS}_3~\#1$ при температурах от 300 до 5 К. На правой оси приведены соответствующие значения коэффициента поглощения

гораздо резче, а рост $D(\mathcal{E})$ для энергий выше края фундаментального поглощения происходит гораздо быстрее. Аналогичные изменения в спектре поглощения при смене направления поляризации недавно наблюдались авторами [26] при комнатной температуре. Отметим также качественное сходство наблюдаемых нами спектров и их зависимости от направления \mathbf{E} с расчетными [14, 15, 26, 27], хотя в работах [14, 27] край поглощения находится заметно выше по энергии.

Для определения типа межзонных переходов спектры (рис. 2b, 3) были перестроены в виде графиков Тауца [44] (см. дополнительные материалы, рис. S2). Анализ спектров, полученных в естественном излучении, указывает на то, что непрямой характер переходов более вероятен. В то же время анализ спектров в поляризованном излучении приводит к неоднозначным результатам. Добавим, что авторам предыдущих работ, в которых рассматривался характер межзонных переходов в TiS_3 [5, 6, 12, 16, 19, 23, 27, 30, 31, 45–51], также не удалось определить, является ли TiS_3 прямозонным полупроводником.

Хотя метод графика Тауца не позволил установить характер межзонных переходов, мы попытались с его помощью определить значения \mathcal{E}_g . Если переходы прямые, для $\mathbf{E} \| \mathbf{a}$ оценки дают $\mathcal{E}_g \sim 1.1$ эВ при комнатной температуре и 1.18 эВ при 5 К. Для $\mathbf{E} \| \mathbf{b}$ получено $\mathcal{E}_g \sim 0.98$ эВ при 300 К и 1.02 эВ при 5 К. Если переходы непрямые, соответствующие значения – 0.91 и 0.96 эВ.

По-видимому, недостаточная точность метода Тауца в нашем случае связана с размытием края щели, а также с близостью к нему донорного уровня (минизоны) и экситонной линии. Благодаря этим факторам оценки \mathcal{E}_q , приведенные выше, могут оказаться заниженными. Наиболее существенная ошибка в величине \mathcal{E}_q может возникнуть при $\mathbf{E} \| \mathbf{a}$, если поглощение вблизи $\mathcal{E} = 1.28\,\mathrm{pB}$ связано с возбуждением экситонов. Если же край поглощения определять по началу резкого роста D, величину щели при $\mathbf{E} \| \mathbf{a}$ можно оценить как 1.4-1.5 эВ (рис. 3а), т.е. существенно выше, чем при $\mathbf{E} \| \mathbf{b}$. Таким образом, наши экспериментальные данные указывают на различие значений \mathcal{E}_a для направлений поляризации вдоль осей a и b, так же как и результаты работ [14–16, 26, 27]. Аналогичным образом различаются и спектры фотопроводимости (при 77 К) [47].

Вне зависимости от интерпретации спектров поглощения наблюдается рост \mathcal{E}_g примерно на $50\,\mathrm{msB}$ при понижении температуры от $300\,\mathrm{K}$ до $5\,\mathrm{K}$.

Отдельно обсудим результаты исследования пропускания, указывающие на возникновение экситонных состояний. Как видно из рис. 2 и 3, изменение спектров пропускания и оптической плотности с понижением температуры не сводится просто к уменьшению размытия края поглощения и сдвигу его вверх по энергии. Ниже 200 К появляется пик поглощения с энергией 1.28 эВ. Логично связать этот пик с возбуждением экситонов [6, 43, 47]. Из спектров $D(\mathcal{E})$ видно, что амплитуда пика существенно зависит от направления поляризации (рис. 3). Наибольшей амплитуды пик достигает при $\mathbf{E} \| \mathbf{a}$. На рисунке 4 показана поляризационная зависимость оптической плотности при $T=5\,\mathrm{K}$, измеренная на образце #2. В ходе измерений длина волны фиксировалась, и вектор поляризации проходил значения от 0 до 180°. В таком представлении предполагаемый экситонный пик выглядит как узкая красная полоса в районе $10275\,\mathrm{cm}^{-1}$ (1.28 эВ). Вертикальность полосы означает отсутствие сдвига пика при вращении вектора поляризации. При $T = 5 \,\mathrm{K}$ полоса наиболее четко видна при направлении Е вдоль оси а. При поляризации $\mathbf{E} \| \mathbf{b} \|$ пик на этом образце полностью исчезает. Таким образом, высота пика опре-

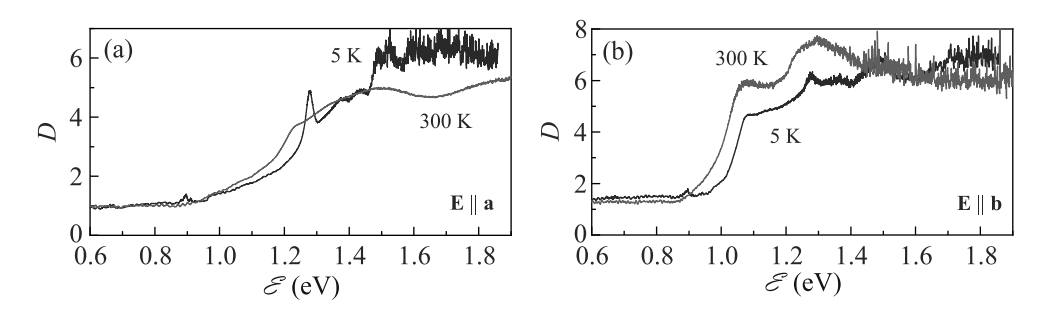


Рис. 3. (Цветной онлайн) Спектры оптической плотности монокристалла $\mathrm{TiS}_3 \ \# 1$, измеренные при $T = 300 \, \mathrm{K}$ (красные кривые) и $5 \, \mathrm{K}$ (синие кривые) в линейно поляризованном свете: $\mathbf{E} \| \mathbf{a} \ (\mathbf{a}) \ \mathbf{u} \ \mathbf{E} \| \mathbf{b} \ (\mathbf{b})$

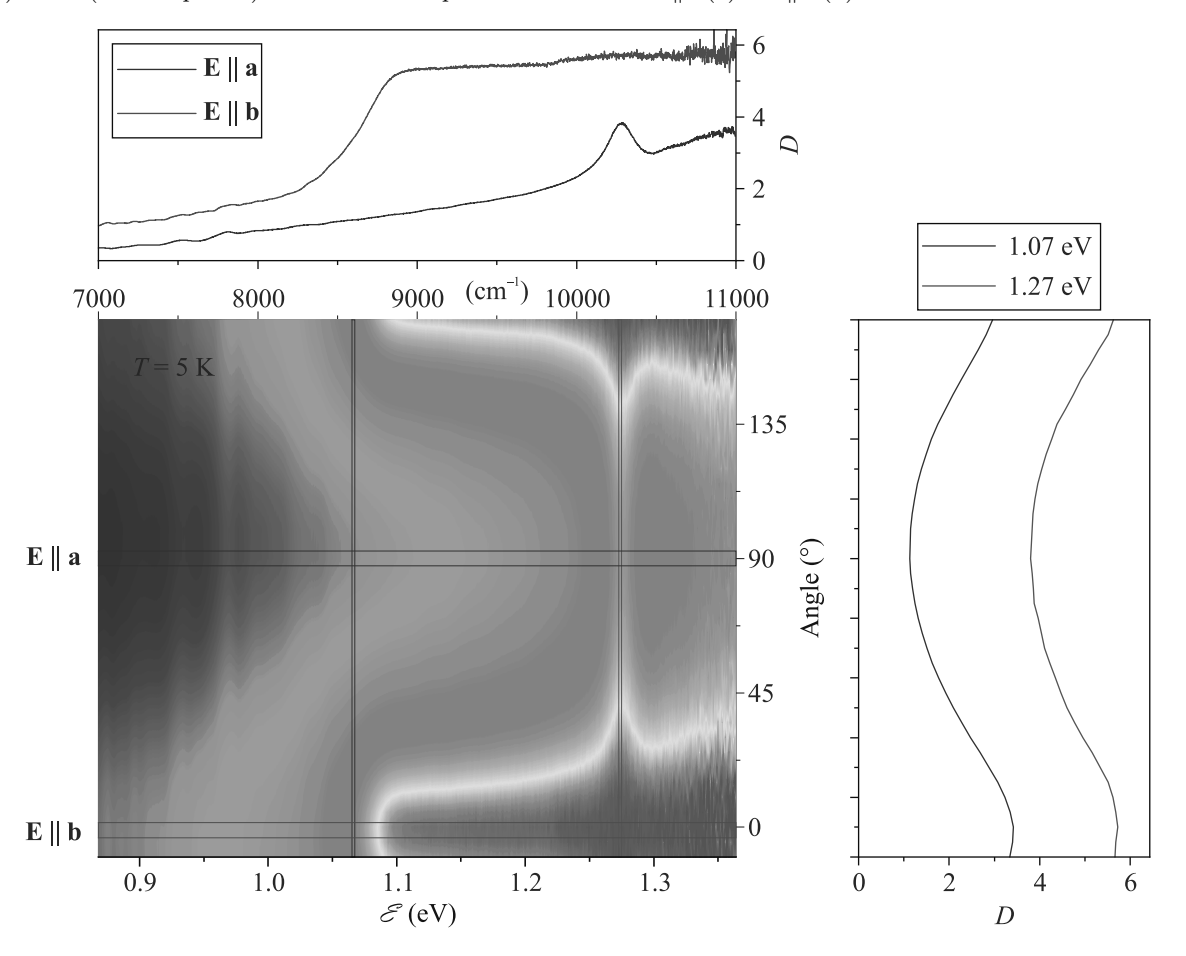


Рис. 4. (Цветной онлайн) Карта оптической плотности монокристалла $\mathrm{TiS}_3 \# 2$ при различных направлениях поляризации падающего света (от 0 до 180°) при температуре 5 К. Две горизонтальные линии показывают диапазон усреднения оптической плотности по углам. Сверху – срезы карты интенсивностей. Синий цвет соответствует поляризации поперек вискера ($\mathbf{E} \| \mathbf{a}$), зеленый – вдоль ($\mathbf{E} \| \mathbf{b}$). Шкала энергий общая, приведена в эВ (снизу) и в см⁻¹ (сверху). Справа – угловые зависимости оптической плотности: срезы карты при постоянной энергии при $\mathcal{E} \sim 1.27$ эВ (экситонный пик), и $\mathcal{E} \sim 1.07$ эВ (область края поглощения)

деляется проекцией ${\bf E}$ на ось ${\bf a}$. Вероятно, небольшой пик при 1.28 эВ, заметный на рис. 3 при ${\bf E}\|{\bf b}$, связан с неидеальной ориентацией образца # 1 относительно ${\bf E}$.

Считая, что при $\mathbf{E} \| \mathbf{a}$ край поглощения находится в области 1.4–1.5 эВ (рис. 3а), приходим к заключе-

нию, что максимум поглощения находится по энергии ниже края щели. Так и должно быть, если пик связан с возбуждением экситонов. В этом случае энергия связи экситона определяется как разность \mathcal{E}_g при $\mathbf{E} \| \mathbf{a} \ (1.4-1.5\, \mathrm{9B})$ и энергии экситонной линии $(1.28\, \mathrm{9B})$, что дает оценку $0.1-0.2\, \mathrm{9B}$.

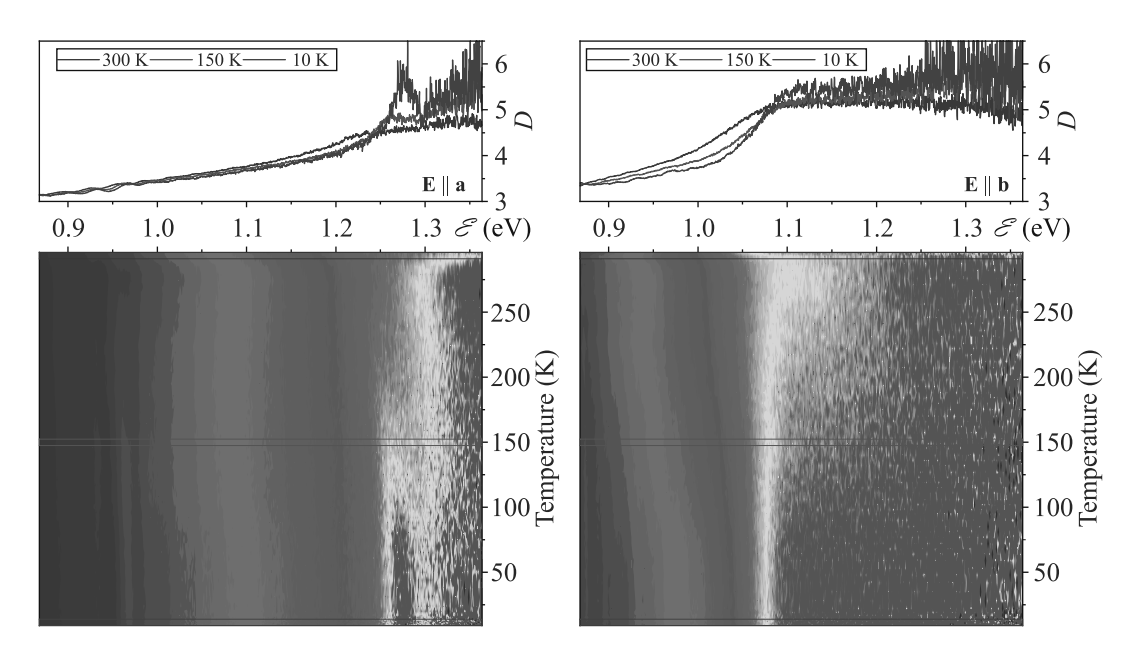


Рис. 5. (Цветной онлайн) Спектры оптической плотности образца #2 в поляризованном свете при разных температурах. Верхние панели: $T=300,\,150$ и 5 К. Нижние панели: температурные карты оптической плотности монокристалла TiS_3 . Слева: $E\|\mathbf{b}$

Авторы работы [43] при расчете спектров поглощения монослоя TiS_3 из первых принципов получили, что положение и интенсивность экситонной полосы зависит от направления линейной поляризации относительно кристаллографических направлений. В случае поляризации параллельной цепочкам ($\mathbf{E} \| \mathbf{b}$), интенсивность существенно (примерно на порядок) выше, чем в перпендикулярном направлении ($\mathbf{E} \| \mathbf{a}$). Согласно [43] отличаются и энергии связи экситонов: для поляризаций электрического поля параллельно осям \mathbf{a} и \mathbf{b} , они равны 0.59 и 0.68 эВ соответственно. Эти расчеты не соответствует нашим экспериментальным данным, согласно которым экситонный пик наблюдается только для $\mathbf{E} \| \mathbf{a}$.

В работе [6] сообщается о существенно меньшей по сравнению с [43] энергии связи экситона — 0.130 эВ. Эта величина, полученная как разность туннельной и оптической щелей, близка к нашей экспериментальной оценке.

Близкие по энергии пики -1.23, 1.41 и 1.34 эВ, в зависимости от толщины образца наблюдались в спектрах фотопроводимости нановискеров TiS_3 при $77\,\mathrm{K}$ [47]. Авторы также связали эти пики с возбуждением экситонов. Оценки энергии связи экситонов дали еще меньшие значения, $60\text{--}70\,\mathrm{m}$ эВ. При этом, однако, согласно [47], экситонные пики должны быть четко видны лишь при $\mathrm{E}\|\mathrm{b}$, что явно противоречит нашему эксперименту. В то же время при $\mathrm{E}\|\mathrm{a}$ на плоском монокристалле толщиной

 $200\,\mathrm{hm}$ в работе [47] наблюдается небольшой пик фотопроводимости как раз при $\mathcal{E}\sim 1.28\,\mathrm{pB},$ однако авторы его не обсуждают.

На наш взгляд, появление экситонов именно при $\mathbf{E} \| \mathbf{a} \|$ имеет простое качественное объяснение. Низкие значения проводимости вдоль осей $\mathbf{a} \| \mathbf{c} \|$ при $T < 200 \, \mathrm{K} \, [11]$ могут свидетельствовать о ее прыжковом характере в направлениях поперек цепочек. Если электрон и дырка находятся на разных проводящих цепочках, их рекомбинация потребует преодоления барьера, и, соответственно, их связанное состояние может быть устойчивым. Для возбуждения такого экситона необходима электромагнитная волна с направлением поляризации $\mathbf{E} \perp \mathbf{b}$.

С целью поиска влияния предполагаемых фазовых переходов на поглощение была детально исследована температурная эволюция спектров. На рисунке 5 показаны спектры оптической плотности того же образца, измеренные в поляризованном свете в диапазоне температур 5-300 К. Видно, что при $\mathbf{E} \| \mathbf{a}$ экситонная полоса становится заметной в районе 150–200 K на частоте $\sim 10275 \,\mathrm{cm}^{-1} \,(1.27 \,\mathrm{эB})$. При понижении температуры наблюдается небольшое ее смещение в сторону больших энергий. При этом не видно каких-либо резких изменений в положении, ширине или контрастности полосы в области температур предполагаемых фазовых переходов (15 и 50 К). Примерно при 120 К четко формируется экситонный пик, однако неясно, как он может быть связан с фазовым переходом.

С другой стороны, появление экситонных состояний может приводить к наблюдаемым особенностям транспортных свойств, например, к нелинейной проводимости [52].

Таким образом, нами проведено комплексное исследование оптических свойств монокристаллических вискеров ${\rm TiS}_3$ в широком спектральном и температурном диапазоне. В области дальнего ИК излучения наблюдались неизвестные ранее фононные моды.

Из анализа спектров вблизи края поглощения нельзя сделать однозначный вывод о характере межзонных переходов (см. дополнительные материалы). На вид спектров в области края фундаментального поглощения при $\mathbf{E} \| \mathbf{b}$ влияние может оказывать донорный уровень (минизона), находящийся на $\sim 40\,{\rm MpB}$ ниже дна зоны проводимости (либо края подвижности). При $\mathbf{E} \| \mathbf{a}$ форма края при низких температурах по существу определяется пиком поглощения при 1.28 эВ, который превращается в широкое "плечо" выше $\sim 150\,\mathrm{K}$. С учетом этих оговорок мы оцениваем щель при $\mathbf{E} \| \mathbf{b}$ величиной $\mathcal{E}_q \approx 1\,\mathrm{sB}$ при комнатной температуре. При $\mathbf{E} \| \mathbf{a}$ мы считаем, что край поглощения следует определять по началу резкого роста оптической плотности D, что дает $\mathcal{E}_q = 1.4 - 1.5 \, \mathrm{эB}, \, \mathrm{т.e.} \, \mathrm{существенно} \, \mathrm{выше}, \, \mathrm{чем} \, \mathrm{при} \, \mathbf{E} \| \mathbf{b}.$

При понижении температуры до 5 K – значения \mathcal{E}_q возрастают на 40–50 мэВ.

Пик поглощения при $1.28 \, {\rm pB}$, наблюдаемый при температурах ниже $\sim 150 \, {\rm K}$, можно объяснить возбуждением экситонов. По нашим оценкам, экситонный уровень оказывается на $0.1-0.2 \, {\rm pB}$ ниже края щели, что соответствует оценке энергии связи экситона [6]. Интенсивность экситонного пика определяется проекцией электрического поля волны на ось а кристалла. Возбуждение экситонов именно при ${\bf E} \| {\bf a} \|$ можно объяснить тем, что при такой поляризации электрон и дырка оказываются на разных проводящих цепочках, т.е. разделены барьером, и их связанное состояние устойчивее, чем в случае возбуждения их на одной цепочке.

При понижении температуры ниже $120\,\mathrm{K}$ мы, вплоть до $5\,\mathrm{K}$, не наблюдали значительных изменений в спектрах, указывающих на структурный фазовый переход.

Финансирование работы. Обработка и анализ результатов, а также написание статьи, выполнены В. Я. Покровским при поддержке Российского научного фонда, проект #22-12-00319. Подготовка кристаллов TiS_3 к исследованиям проводились И. Г. Горловой в рамках Госзадания Института радиотехники и электроники имени

В. А. Котельникова Российской академии наук. Оптические и инфракрасные исследования проводились К. Н. Болдыревым в рамках Госзадания FFUU-2024-004.

Конфликт интересов. Авторы данной работы заявляют, что у них нет конфликта интересов.

- H. G. Grimmeis, A. Rabenau, H. Hann, and P. Neiss,
 Z. Elecktrochem 65, 776 (1961) (in German).
- 2. S. Furuseth, L. Brattas, and A. Kjekshus, Acta Chem. Scand. A **29**, 623 (1975).
- 3. S. Jandl, J. Deslandes, and M. Banville, Infrared Phys. **22**, 327 (1982).
- S. P. Gwet, Y. Mathey, and C. Sourisseau, Phys. Stat. Sol. (b) 123, 503 (1984).
- H. Yi, T. Komesu, S. Gilbert, G. Hao, A. J. Yost,
 A. Lipatov, A. Sinitskii, J. Avila, C. Chen,
 M. C. Asensio, and P. A. Dowben, Appl. Phys.
 Lett. 112, 052102 (2018).
- A. J. Molina-Mendoza, M. Barawi, R. Biele, E. Flores, J. R. Ares, C. Sanchez, G. Rubio-Bollinger, N. Agrait, R. D'Agosta, I. J. Ferrer, and A. Castellanos-Gomez, Adv. Electron. Mater. 1, 1500126 (2015).
- E. Finkman and B. Fisher, Solid State Commun. 50, 25 (1984).
- I. G. Gorlova, S. G. Zybtsev, V. Ya. Pokrovskii, N. B. Bolotina, S. Yu. Gavrilkin, A. Yu. Tsvetkov, and A. N. Titov, Physica B 460, 11 (2015).
- A. S. Shkvarin, Yu. M. Yarmoshenko, M. V. Yablonskikh, A. I. Merentsov, and A. N. Titov, Journal of Structural Chemistry 55, 1039 (2014).
- S. J. Gilbert, H. Yi, T. Paudel, A. Lipatov, A. J. Yost,
 A. Sinitskii, E. Y. Tsymbal, J. Avila, M. C. Asensio, and
 P. A. Dowben, J. Phys. Chem. C 126, 17647 (2022).
- 11. И. Г. Горлова, С. Г. Зыбцев, В. Я. Покровский, Письма в ЖЭТФ **100**, 281 (2014).
- 12. J. Dai and X. C. Zeng, Angew. Chem. Int. Ed. ${\bf 54},\,7572$ (2015).
- И. Г. Горлова, В. Я. Покровский, С. Ю. Гаврилкин, А. Ю. Цветков, Письма в ЖЭТФ 107, 180 (2018).
- J. O. Island, R. Biele, M. Barawi, J. M. Clamagirand, J. R. Ares, C. Sanchez, H. S. J. van der Zant, I. J. Ferrer, R. D'Agosta, and A. Castellanos-Gomez, Sci. Rep. 6, 22214 (2016).
- S. Liu, W. Xiao, M. Zhong, L. Pan, X. Wang, H.-X. Deng, J. Liu, J. Li, and Z. Wei, Nanotechnology 29, 184002 (2018).
- S. Hou, Z. Guo, J. Yang, Y.-Y. Liu, W. Shen, C. Hu, Sh. Liu, H. Gu, and Z. Wei, Small 17, 2100457 (2021).
- A. Khatibi, R. H. Godiksen, S. B. Basuvalingam,
 D. Pellegrino, A. A. Bol, B. Shokri, and A. G. Curto,
 2D Mater. 7, 015022 (2020).
- 18. И. Г. Горлова, В. Я. Покровский, Письма в ЖЭТФ **90**, 320 (2009).

- J. O. Island, A. J. Molina-Mendoza, M. Barawi, R. Biele,
 E. Flores, J. M. Clamagirand, J. R. Ares, C. Sanchez,
 H. S. J. van der Zant, R. D'Agosta, I. J. Ferrer, and
 A. Castellanos-Gomez, 2D Mater. 4, 022003 (2017).
- 20. И. Г. Горлова, А. В. Фролов, А. П. Орлов, В. Я. Покровский, Воей Ву Пай, Письма в ЖЭТФ **110**, 400 (2019).
- M. Randle, A. Lipato A. Kumar et al. (Collaboration), ACS Nano 13, 803 (2019).
- N. Tripathi, V. Pavelyev, P. Sharma, S. Kumar,
 A. Rymzhina, and P. Mishra, Materials Science in Semiconductor Processing 127, 105699 (2021).
- J. Kang and L.-W. Wang, Phys. Chem. Chem. Phys. 18, 14805 (2016).
- J. Kang, H. Sahin, and F.M. Peeters, Phys. Chem. Chem. Phys. 17, 27742 (2015).
- M. Li, J. Dai, and X. C. Zeng, Nanoscale 7, 15385 (2015).
- S. Ho Suk, S. Nah, M. Sajjad, S.B. Seo, J. Song, N. Singh, and S. Sim, Adv. Optical Mater. 11, 2300370 (2023).
- Y. Jin, X. Li, and J. Yang, Phys. Chem. Chem. Phys. 17, 18665 (2015).
- S. Zhao, B. Dong, H. Wang, H. Wang, Y. Zhang,
 Z. V. Han, and H. Zhang, Nanoscale Adv. 2, 109 (2020).
- F. Xia, H. Wang, and Y. Jia, Nat. Commun. 5, 4458 (2014).
- 30. I. J. Ferrer, J. R. Ares, J. M. Clamagirand, M. Barawi, and C. Sanchez, Thin Solid Films **535**, 398 (2013).
- 31. M. Abdulsalam and D.P. Joubert, Phys. Status Solidi B **253**, 868 (2016).
- M. D. Randle, A. Lipatov, I. Mansaray, J. E. Han,
 A. Sinitskii, and J. P. Bird, Appl. Phys. Lett. 118, 210502 (2021).
- 33. P. Monceau, Adv. Phys. 61, 325 2012.
- 34. Л. В. Келдыш, Ю. В. Копаев, ФТТ 6, 2791 (1964).
- 35. W. Kohn, Phys. Rev. Lett. 19, 439 (1967).
- I. G. Gorlova, S. G. Zybtsev, V. Ya. Pokrovskii, N. B. Bolotina, I. A. Verin, and A. N. Titov, Physica B 407, 1707 (2012).

- 37. Z. Jiang, Y. Li, Sh. Zhang, and W. Duan, Phys. Rev. B **98**, 081408(R) (2018).
- 38. I. G. Gorlova, S. A. Nikonov, S. G. Zybtsev, V. Ya. Pokrovskii, and A. N. Titov, Appl. Phys. Lett. **120**, 153102 (2022).
- 39. А. С. Шкварин, Ю. М. Ярмошенко, М. В. Яблонских, А. И. Меренцов, А. Н. Титов, ЖСХ **55**, 1095 (2014).
- S. K. Srivastava and B. N. Avasthi, J. Mater. Sci. 27, 3693 (1992).
- 41. Н.Б. Болотина, И.Г. Горлова, И.А. Верин, А.Н. Титов, А.В. Аракчеева, Кристаллография **61**, 888 (2016).
- 42. I. N. Trunkin I. G. Gorlova, N. B. Bolotina, V. I. Bondarenko, Y. M. Chesnokov, and A. L. Vasiliev, J. Mater. Sci. **56**, 2150 (2021)
- E. Torun, H. Sahin, A. Chaves, L. Wirtz, and F. M. Peeters, Phys. Rev. B 98, 075419 (2018).
- 44. J. I. Pankove, *Optical processes in semiconductors*, 2nd ed., Publisher New York, Dover (1975).
- O. Gorochov, A. Katty, N. Le Nagard, C. Levy-Clement, and D. M. Schleich, Mater. Res. Bull. 18, 111 (1983).
- I. J. Ferrer, M. D. Macia, V. Carcelen, J. R. Ares, and C. Sanchez, Energy Procedia 22, 48 (2012)
- Z. Lian, Z. Jiang, T. Wang, M. Blei, Y. Qin,
 M. Washington, T.-M. Lu, S. Tongay, Sh. Zhang, and
 S.-F. Shi, Appl. Phys. Lett. 117, 073101 (2020).
- 48. J. Wu, D. Wang, H. Liu, W.-M. Laua, and L.-M. Liu, RSC Adv. 5, 21455 (2015).
- R. Biele, E. Flores, J. R. Ares, C. Sanchez, I. J. Ferrer,
 G. Rubio-Bollinger, A. Castellanos-Gomez, and
 R. D'Agosta, Nano Res. 11, 225 (2018).
- F. Iyikanat, H. Sahin, R. T. Senger, and F. Peeters,
 J. Phys. Chem. C 119, 19, 10709 (2015).
- E. Flores, J. R. Ares, I. J. Ferrer, and C. Sanchez, Phys. Status Solidi RRL 10, 802 (2016).
- 52. Y. Takahide, T. Konoike, K. Enomoto, M. Nishimura, T. Terashima, Sh. Uji, and H. M. Yamamoto, Phys. Rev. Lett. **96**, 136602 (2006).